

〔苏联〕 A. A. 盖尼克著

# 微波测距仪

梁增勇等译 胡明城校

中国工业出版社

〔苏联〕A. A. 盖尼克著

# 微波测距仪

梁增勇等译 胡明城校

中国工业出版社

А. А. Генике

ГЕОДЕЗИЧЕСКИЕ ФАЗОВЫЕ РАДИОДАЛЬНОМЕРЫ

Госгеолтехиздат Москва 1963

\* \* \*

微 波 测 距 仪

梁增勇等译 胡明城校

\*

国家测绘总局测绘书刊编辑部编印 (北京三里河国家测绘总局)

中国工业出版社出版 (北京佳木斯路丙10号)

北京市书刊出版业营业登记证字第110号

中国工业出版社第四印刷厂印刷

新华书店北京发行所发行·各地新华书店经售

\*

开本850×1168<sup>1</sup>/<sub>32</sub>·印张5·字数128,000

1965年11月北京第一版·1965年11月北京第一次印刷

印数0001—1740·定价(科五)0.70元

\*

统一书号: 15165·4165 (测绘-153)

本书譯自苏联中央测绘科学研究所1963年出版的第164期著作集，其中附录部分摘譯自美国商务部海岸大地测量局1961年出版的微波测距仪作业手册。前者着重闡述微波测距仪的工作原理，微波传播問題，选择各主要参数的依据，誤差分析，微波测距仪的进一步改进，也叙述了測算方法；后者主要是叙述作业方法和仪器的故障排除，綜合了美国海岸大地测量局几年来从事微波测距的作业經驗。因此，本书兼备微波测距的理論和实践，內容比較完整，既有助于作业人員，又可作为科研人員和測量院校师生的参考书。

本书由梁增勇同志翻譯，附录部分由刘荣和侯开宗同志翻譯。

# 目 录

|  |    |
|--|----|
| 緒論.....                                  | 1  |
| 第一章 微波測距仪工作原理 .....                      | 6  |
| § 1. 相位法測距的物理基础.....                     | 6  |
| § 2. 微波測距仪內的相位关系.....                    | 16 |
| § 3. 微波測距仪接收发射系統內時間延迟改正数消除<br>方法的論証..... | 34 |
| § 4. 扫描圓偏心誤差消除方法的論証.....                 | 37 |
| § 5. 待測距离多值性的解决.....                     | 39 |
| § 6. 被复地面反射对微波測距成果的影响.....               | 45 |
| 第二章 有关无线电波传播的某些問題 .....                  | 53 |
| § 7. 近地大气层无綫电波的传播速度.....                 | 53 |
| § 8. 被复地面对厘米无綫电波的反射.....                 | 59 |
| § 9. 厘米无綫电波的繞射和折射.....                   | 62 |
| 第三章 选择微波測距仪主要部件的依据 .....                 | 67 |
| § 10. 对微波測距仪结构的一般要求 .....                | 67 |
| § 11. 載頻的选择 .....                        | 70 |
| § 12. 測距频率的选择 .....                      | 72 |
| § 13. 調制 .....                           | 75 |
| § 14. 外差 .....                           | 76 |
| § 15. 中頻放大器 .....                        | 77 |
| § 16. 低頻系統 .....                         | 78 |
| § 17. 指示設備 .....                         | 79 |
| 第四章 微波測距作业方法 .....                       | 80 |
| § 18. 总述 .....                           | 80 |
| § 19. 削弱被复地面反射影响和选择最有利地形条件的問題 .....      | 80 |
| § 20. 最有利的天气条件及測量時間的选择 .....             | 91 |
| § 21. 零点差改正数的測定 .....                    | 94 |
| § 22. 測距频率的校准 .....                      | 97 |

## IV

|   |            |
|---|------------|
| § 23. 关于編制高精度微波測距綱要的某些規定.....             | 102        |
| <b>第五章 微波測距成果的处理方法 .....</b>              | <b>105</b> |
| § 24. 处理的主要步驟.....                        | 105        |
| § 25. 无线电信号概略經歷時間的計算.....                 | 105        |
| § 26. 无线电信号精确經歷時間的計算.....                 | 108        |
| § 27. 大气中无线电波传播速度的計算.....                 | 113        |
| § 28. 适用于度盘分划以长度为单位的微波測距仪的<br>距离計算方法..... | 115        |
| <b>第六章 微波測距誤差分析 .....</b>                 | <b>118</b> |
| § 29. 主要誤差来源.....                         | 118        |
| § 30. 零点差改正数測定誤差.....                     | 118        |
| § 31. 被复地面影响所产生的誤差.....                   | 119        |
| § 32. 讀數誤差.....                           | 120        |
| § 33. 所知的測距頻率的誤差.....                     | 120        |
| § 34. 折射率求定誤差.....                        | 121        |
| § 35. 所知的真空中电磁波传播速度的誤差.....               | 122        |
| § 36. 微波測距的总誤差.....                       | 123        |
| <b>第七章 微波測距仪进一步的某些改进 .....</b>            | <b>127</b> |
| § 37. 微波測距仪结构的改进.....                     | 127        |
| § 38. 指示设备的改进.....                        | 129        |
| <b>附录 外业实施方法和故障排除 .....</b>               | <b>134</b> |
| 一. 作业准备和实施.....                           | 134        |
| 二. 被复地面反射影响的解释.....                       | 140        |
| 三. 外业中故障的排除.....                          | 142        |
| 四. 微波測距导綫的布設和測量.....                      | 148        |
| 五. 微波測距仪用于布設基綫网和三边測量.....                 | 151        |
| <b>参考文献 .....</b>                         | <b>153</b> |

## 緒論

提高直线丈量工作的劳动生产率，乃是大地测量生产中最现实的問題之一。利用卷尺和线尺量测距离，是一种很繁重的工作，因此这种测距方法不能使劳动生产率得到显著的提高。在起伏地区，这种测距方法还会遇到严重的困难。由于这些原因，到目前为止，直线丈量几乎只被用来测定基线的长度，使得具有发展前途的导线测量方法在国家大地网的布設中不能得到广泛应用。因而寻求新的、更先进的测距方法就具有重大意义。目前，以测定电磁波经历待测距离的時間为基础的测距方法，已經研究成功，并获得实际应用。

新的测距方法的研究，其基本任务是：

- (1) 选择电磁波的最佳波段；
- (2) 选择电磁波传播时间最有效的测定方法。

按照Г.С.兰斯別尔格的說法：“……电磁波的波譜是一个連續无間的排列，从波长无限长的电磁波（相当于直流电）一直排列到波长以千分之几埃計的波❶”。而不同波段的电磁波具有极其不同的性质。因此，为了正确选择波段，必須首先从测距观点出发，規定这些波所应滿足的基本要求。这些要求可陈述如下：

- (1) 在任何气象条件下，波应在待测距离范围内自由传播；
- (2) 对于給定的气象条件，电磁波传播速度应为已知，且具有所要求的精度；
- (3) 电磁波传播轨道应为已知；
- (4) 周圍地物对波的反射应最小；
- (5) 能利用不太复杂的技术设备发射和接收电磁波。

在已为現代技术所掌握的波譜中，光波能最充分地滿足上述

❶ Г.С.兰斯別尔格《光学》人民教育出版社 1957（中譯本）370頁。

要求。但在利用光波时，也遇到两个主要困难：

雾和轻雾能强烈地吸收光波；

白天接收弱光信号在技术上很困难。

这些困难使适宜于光速测距仪测距的时间很受限制，因为只有在通视良好的条件下才能进行测量，而通常只在晚间进行测量。

利用波长较长的电磁波（无线电波）虽能克服上述困难，但这时又产生一些特殊困难，它们是：

（1）被复地面及与测线毗连的地物的反射十分显著，致使接收设备同时收到经历了不同距离的无线电波；

（2）气象因素（温度、气压和湿度）对无线电波和光波的传播速度都有着极大影响，而空气湿度对无线电波传播速度的影响，较之对光速要大很多倍。

除此而外，随着波长的增加还产生另一些困难：

（1）天线设备尺寸的加大，使发射中心难以确定；

（2）长波有较强的绕射，此时，虽然可以量测不能直接通视的测线，但无线电波传播轨道的弯曲却很难计算；

（3）“起飞”和“着陆”地段<sup>①</sup>面积的增大，使被复地面的电性质对无线电波传播速度的影响增大。

由于这些困难，使得在现代技术水平之下，只有采用厘米波段的无线电波方能精确地量测距离。

至于谈到测量电磁波传播时间的方法，则目前大多采用脉冲法和相位法。

在利用脉冲法时，能量以不连续的短脉冲的形式辐射出来，测量由发射到接收所经历的时间。为了提高时间的测量精度，不得不利用宽度为若干毫微秒<sup>②</sup>的短沿脉冲，并以宽频带系统发射此种脉冲。利用此种系统，欲获得稳定的脉冲时间延迟，却是

<sup>①</sup> Л. И. 曼杰利什塔姆首先引用的术语“起飞”和“着陆”地段，系指靠近发射器和接收器且对无线电波传播速度有最大影响的地段。

<sup>②</sup> 1毫微秒=10<sup>-9</sup>秒，文献中或记作m $\mu$ s。

很困难的，而且仪器既复杂又笨重。因此，尽管使用脉冲法极易消除由被复地面所反射的无线电波的影响，但在目前，脉冲系統在精密測距中并未获得广泛的应用。

相位法的特点是发射等幅振盪，根据发射的波和接收的波之間的相位差确定距离。利用相位系統能較精确地測量电磁波沿測线經歷的时间，且能用适当的測量方法以消除測距設備电路中的時間延迟。

这种系統的主要缺点是：为解决 所謂待 测距离 的多值性問題，必須使仪器复杂化。尽管如此，相位系統正被广泛地用于精密測距。

当然，促使相位系統目前优先应用于精密測距的一些优点，并不是一下子就显示出来的。几十年来，一直进行着相位式和脉冲式測距系統科学技术工作原理的研究。

在第二次世界大战期間和战后，无线电測距系統得到了极大发展。这一时期研究成功了一系列的无线电測距系統：脉冲式的有吉依 (Gee)、罗兰 (Loran)、紹兰 (Shoran)、雷姆 (RIM) 等系統；相位式的有笛卡(Decca)、雷第斯特(Raydist)、拉那 (Rana) 等系統。但由于笨重、复杂和精度較低，这些系統只在个别情况下被应用于大地測量工作（例如长距离測定，和布設长边三角网）。

根据南非三角測量司的定貨，于1954年在南非科学研究院长途通訊科研实验室，由T.L.威德利 (T.L.Wadley) 領導下开始了超短波大地无线电測距仪的制作。要求該仪器符合下列几点：

- (1) 測距精度高——保証仪器有应用于一等大地 测量工作的可能性；
- (2) 維护简便——使該仪器在野外 条件下，能由不 具备电子学專門知识的測量工作者或其他工作人員使用；
- (3) 重量輕、便于携帶、可以很方便地架設在工作地点；
- (4) 結构牢固可靠；
- (5) 能够在任何气象和地理条件下进行觀測。

于1957年，大地无线电测距仪的制作顺利完成。所制成的名为 tellurometer 的相位式大地无线电测距仪（MRA-1型微波测距仪——译者），符合了上述大部分要求。其重量轻、精度较高、维护简便和观测持续时间短，使微波测距仪得以迅速运用于测量生产中去。

该微波测距仪的制成，也成了制作一系列超短波大地无线电测距仪的推动力，到1960年，微波测距仪的各种变形已在苏联、匈牙利和美国研究成功。

首批微波测距仪模型，由置于测线两端的结构相似的两个台（主台和副台）组成，只能在主台读数。在使用过程中，发现制作主、副台能互换的仪器较为合理，这样，在大量测距生产中仪器转移次数将会减少。况且，使用能兼作主、副台的仪器，由于同一距离可自测线两端测定，使得量测成果可以检核。使用过程中，同时还发现了研究测距精度与外界因素之关系的可能性，这将有助于测距精度的提高和扩大我们对近地大气层中无线电波传播速度的认识。

随着微波测距仪使用经验的积累，其结构及测量和计算距离的方法不断获得完善。因而，微波测距仪的使用范围日益扩大。各国发表了很多关于微波测距仪构造及其工作方法的文章。这些文章的作者们提出了很多观点，有时它们则互相矛盾。但对已有研究结果的综合分析是不够的。只须指出，到目前为止，尚未发表过足够完整地阐明微波测距仪工作原理的文章。所有这一切都阻碍着微波测距技术的进一步发展。本书试图弥补这一缺陷。与此相应，本书共分七章。

第一章论述微波测距仪的理论基础，消除被复地面影响的方法以及解决测距多值性的方法。

第二章叙述无线电波传播的某些问题，折射率及传播速度的测定。

第三章阐述对微波测距仪各主要部件的最重要的要求，有关载频与测距频率的选择以及对仪器整体结构的意见。

第四章叙述测距方法以及最有利的地形和气象条件的选择。

第五章分析测距成果处理的方法。

第六章論及使用微波測距仪时产生的測距誤差，提出削減这些誤差的見解。

第七章闡述微波測距技术进一步发展的問題。

最后，在附录部分着重闡述作业方法和仪器的故障排除，其中綜合了美国商务部海岸大地测量局数年来从事微波測距的外业經驗。

# 第一章 微波測距仪工作原理

## § 1. 相位法测距的物理基础

通过不同路程的两相干电磁波的相位差，与該两电磁波通过这些路程所经历的时间差成正比，这就是相位法测距的基础。假如波在均匀介质中传播，则其传播速度可视为固定值。这时，传播时间正比于所通过距离之差。

图 1 给出最简单的相位式无线电测距仪方框图。

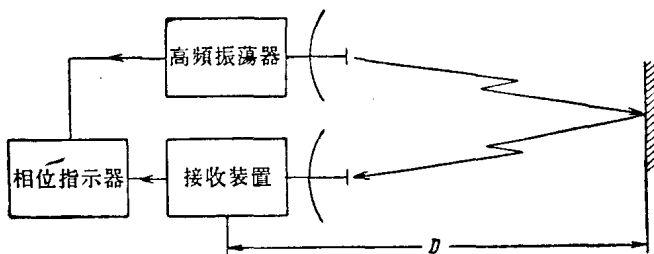


图 1 最简单的相位式无线电测距仪方框图

假设高頻振盪器产生的电磁波由天线系統发射，电磁振盪的表示式为

$$u = U_m \sin (\omega t + \varphi_0) = U_m \sin \psi,$$

其中  $U_m$ ——电磁波的振幅； $\omega$ ——角频率； $t$ ——时间； $\varphi_0$ ——初相； $\psi = \omega t + \varphi_0$ ——相位。

经过时间  $\tau$  后 ( $\tau$  为电磁波到达远处目标往返传播所需的时间)，从高頻振盪器到相位指示器沿最短路程传播的电磁波的相位改变了  $\omega\tau$ ，它等于

$$\psi' = \omega(t + \tau) + \varphi_0$$

(略去在无线电测距仪系統內和在远处目标反射时所产生的信号延迟)。

利用相位指示器记录相位差:

$$\Delta\phi = \phi' - \phi = \omega\tau. \quad (1)$$

此时的向量图如图 2 所示。

相位测量中经常要考虑相位角的符号。为此，通常将经过最短路程的信号视为基准信号。这时，来自远方的信号，其相位相对于基准信号滞后，也就是说相位偏移为负值。因而文献中经常把沿着测线传播的波的相位偏移，给以负号。

在相位测量中，相位比较过程是连续的。由于脉冲性质的干扰影响的减小，使得相位测量较之脉冲测量有很大的优越性。

假定电磁波以速度  $v$  沿接近直线的轨道传播，则传播时间  $\tau$  和待测距离  $D$  由简单的关系式相联系：

$$\tau = \frac{2D}{v}. \quad (2)$$

将  $\tau$  值代入 (1) 式，得

$$\Delta\phi = \omega \frac{2D}{v}. \quad (3)$$

由 (3) 式易于求出距离  $D$ ：

$$D = \frac{v}{2\omega} \Delta\phi. \quad (4)$$

所以，为了求出距离，必须知道电磁波传播速度、振荡频率和远方信号相对于基准信号的相位差。

因为相位指示器只能直接测定在相位变化一周期范围内的相位差（即由 0 到  $2\pi$ ），所以式(1)和(4)的一般形式如下：

$$\Delta\phi = 2\pi N + \Delta\varphi = \omega\tau; \quad (1')$$

$$\begin{aligned} D &= \frac{v}{2\omega} (2\pi N + \Delta\varphi) = N \frac{v}{2f} + \frac{v}{2\omega} \Delta\varphi = \\ &= \left( N + \frac{\Delta\varphi}{2\pi} \right) \frac{\lambda}{2}, \end{aligned} \quad (4')$$

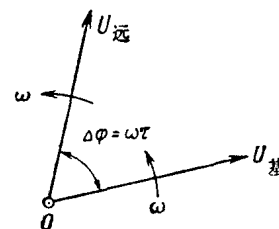


图 2 加于相位指示器电压的向量图

式中  $N$  —— 对应于相位差变化整周期数的整数;  $\Delta\varphi$  —— 一周期范围内的相位差, 它由指示设备量测;  $f = \frac{\omega}{2\pi}$  —— 振盪频率;  $\lambda$  —— 波长。

由于  $N$  为未知, 所以产生了为一切相位式测距仪所共有的待测距离多值性问题。

为了解决多值性问题, 必须利用其它的测量频率。在微波测距仪中解决多值性的方法见本章 § 5。

在很多无线电测距系统内, 载频振盪同时又是测距振盪①。而对精密测距来说, 这些职能实际上是不相容的, 因为用超短波作为测距波, 将会使获得高稳定度的振盪 ( $\frac{\Delta f}{f} \approx 1 \cdot 10^{-6}$ ) 以及解决所测距离多值性方面, 遇到严重困难。因而在现有微波测距仪中, 载波频率同测距频率的职能是分开的。

测距频率的振盪通常由石英振盪器产生, 它用来调制超短波振盪器。超短波的作用只是将测距频率从一点运载到另一点。

目前研究出来的相位式无线电测距仪有两种, 一种带有源转发器, 另一种带无源转发器。所谓无源转发器, 系指不经放大地把无线电波反射回来的专门装置。带无源转发器, 并以超短波段工作的无线电测距仪, 因其作用距离较短, 使应用范围受到限制, 即当所采用的天线设备的尺寸适用于携带式仪器时, 此作用距离不超过 8—10 公里。况且, 应用这种无线电测距仪时, 尚需采取专门措施, 以区别由转发器和其他目标反射的信号。

带有源转发器的无线电测距仪已得到广泛应用。转发器接收通过待测距离的无线电信号, 将其放大, 并向相反方向发射回去。

图 3 是量测调制频率相位差的无线电测距仪方框图。在此线路中, 为削弱发射器对本身接收器的影响, 往、返方向采用不同的载频  $\omega_{H_1}$  和  $\omega_{H_2}$  发射。本线路的主要缺点, 乃是在两站发射-接

① 按其相位移动测定距离的振盪称为测距振盪(直译应为比例尺振盪)。——译者注。

收器电路中有着显著的相位延迟积累，并且无法消除。

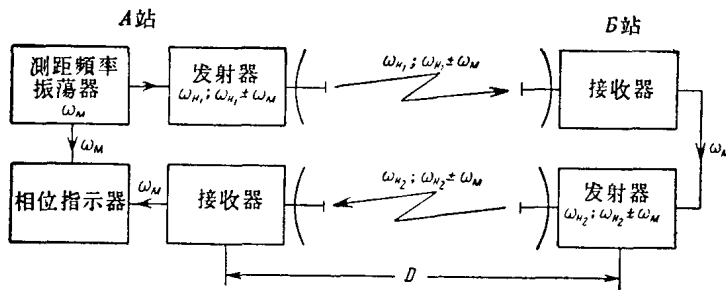


图 3 量測調制頻率相位差的无线电测距仪方框图

另一形式的无线电测距仪为三十年代試制成功的 МПІІІ (曼杰利什塔姆——帕帕列克西——謝戈列夫) 无线电测距仪。其方框图见图 4。它的特点是根据电子束管上的李薩如图形，测量倍

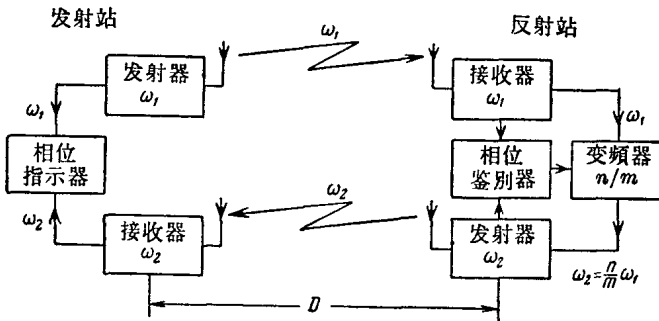


图 4 МПІІІ 无线电测距仪方框图

频的相位差。在反射站，利用相位鉴别器保持着接收信号和发射信号之间的强制相位差。但相位差保持的精度很低，且主站接收-发射电路中的相位偏移根本无检核。此外，同时兼有载频和测距频率的作用，也是本线路图的缺点。

最有前途的线路图，要算是曼杰利什塔姆和帕帕列克西在1930年提出的非相干相位式无线电测距仪。非相干相位式无线电测距仪的作用原理，在于用外差方法变换两振盪的频率时，其相

位关系保持不变。下面给出这一重要論点的証明。

假定測距頻率振盪器的振盪被加在两个混頻器上(图5)：加到混頻器Ⅰ的振盪，直接来自測距頻率振盪器；加到混頻器Ⅱ的振盪，则經過仿真延迟线。

以下式表示測距頻率振盪器輸出端电压：

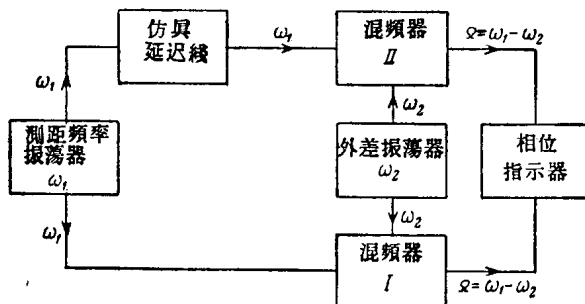


图5 使用差頻量測相位差原理图

$$u_1 = U_{m1} \sin(\omega_1 t + \varphi_{01}).$$

这时，仿真延迟线输出端电压等于

$$u'_1 = U'_{m1} \sin[\omega_1(t - \tau) + \varphi_{01}],$$

式中  $\tau$ ——仿真线时间延迟。

加在混頻器Ⅰ和Ⅱ上的振盪的相位差，将等于

$$\Delta\varphi_{\omega_1} = (\omega_1 t + \varphi_{01}) - [\omega_1(t - \tau) + \varphi_{01}] = \omega_1 \tau. \quad (5)$$

同时加在这些混頻器上的还有来自外差振盪器的振盪，其电压表示式为

$$u_2 = U_{m2} \sin(\omega_2 t + \varphi_{02}).$$

欲获得組合频率，混頻器的伏安特性曲线必須呈非线性。为了計算簡便，將視此特性曲线为二次曲线，即令流經混頻器的电流  $i$  等于

$$i = \beta u^2,$$

式中  $\beta$ ——比例系数。

在此种情况下，流經混頻器Ⅰ的电流由下式决定：

$$i = \beta(u_1 + u_2)^2 = \beta[U^2 m_1 \sin^2(\omega_1 t + \varphi_{01}) + 2U_{m_1}U_{m_2}\sin(\omega_1 t + \varphi_{01}) \cdot \sin(\omega_2 t + \varphi_{02}) + U^2 m_2 \sin^2(\omega_2 t + \varphi_{02})].$$

在混頻器輸出端分出差頻振盪：

$$\Omega = \omega_1 - \omega_2;$$

这时，

$$i_\Omega = \beta U_{m_1} U_{m_2} \cos(\Omega t + \varphi_{01} - \varphi_{02}).$$

混頻器 I 輸出的低頻電壓為

$$\begin{aligned} u_\Omega &= i_\Omega r_{h\Omega} = \beta r_{h\Omega} U_{m_1} U_{m_2} \cos(\Omega t + \varphi_{01} - \varphi_{02}) \\ &= U_{m_\Omega} \cos(\Omega t + \varphi_{01} - \varphi_{02}), \end{aligned}$$

式中  $r_{h\Omega}$ —— $\Omega$  頻率振盪的負載電阻。

與此相似，混頻器 II 輸出的電壓為

$$u'_{\Omega} = U'_{m_\Omega} \cos(\Omega t - \omega_1 \tau + \varphi_{01} - \varphi_{02}).$$

借助于相位指示器，我們將測定出二差頻振盪間的相位差：

$$\Delta \phi_\Omega = (\Omega t + \varphi_{01} - \varphi_{02}) - (\Omega t - \omega_1 \tau + \varphi_{01} - \varphi_{02}) = \omega_1 \tau. \quad (6)$$

比較公式 (5) 和 (6)，我們有

$$\Delta \phi_\Omega = \Delta \phi_{\omega_1}, \quad (7)$$

即用外差方法變換頻率時，兩振盪的相位差保持不變。此關係式由 П.И. 曼杰利什塔姆首次證明。

圖 5 所示的線路圖能較容易地改變為無線電測距儀線路圖。為此，需將測距頻率振盪器、混頻器 I 和相位指示器置於測線一端 (A 站)，而將外差振盪器和混頻器 II 置於另一端 (B 站)。

曼杰利什塔姆和帕帕列克西於 1930 年提出的這種無線電測距儀 (發明証書 №27638) 方框圖見圖 6。

圖 5 和圖 6 給出的略圖有着以下非原則性的差異：

(a) 以接收器-混頻器代替圖 5 中的混頻器，這裡不僅進行信號混頻，而且進行信號的放大。後者之所以必須，是由於經歷待測距離後的信號有顯著的衰減。

(b) 以無線電波沿測線傳播時間所產生的時間延遲，代替仿真延遲線。而這種延遲不僅為測距頻率振盪器振盪所經受，同樣為外差振盪器振盪和差頻振盪所經受。